

波包

步允霆

2023 年 8 月 27 日

1 自由粒子

若一个粒子在空间各点的势能都为零，我们说它是自由的。

当 $V(\mathbf{r}, t) = 0$ ，此时的薛定谔方程为

$$i\hbar \frac{\partial}{\partial t} \psi(\mathbf{r}, t) = -\frac{\hbar^2}{2m} \nabla^2 \psi(\mathbf{r}, t) \quad (1)$$

显然，这个微分方程具有如下形式的解

$$\psi(\mathbf{r}, t) = A e^{i(\mathbf{k} \cdot \mathbf{r} - \omega t)} \quad (2)$$

而

$$\omega = \frac{\hbar \mathbf{k}^2}{2m} \quad (3)$$

我们可以看到

$$|\psi(\mathbf{r}, t)|^2 = |A|^2 \quad (4)$$

所以一个这种类型的平面波代表一个粒子，它在空间各点出现的概率是一样的。

根据叠加原理，可以得到

$$\psi(\mathbf{r}, t) = \frac{1}{(2\pi)^{3/2}} \int g(\mathbf{k}) e^{i[\mathbf{k} \cdot \mathbf{r} - \omega(\mathbf{k})t]} d\mathbf{k} \quad (5)$$

形如式 (5) 的波函数，即平面波的叠加，叫做一个三维波包。我们接下

来研究平行于 Ox 轴传播的一维波包，即

$$\psi(x, t) = \frac{1}{\sqrt{2\pi}} \int_{-\infty}^{+\infty} g(k) e^{i[kx - \omega(k)t]} dk \quad (6)$$

若将这个时刻选为时间的起点，则波函数为：

$$\psi(x, 0) = \frac{1}{\sqrt{2\pi}} \int g(k) e^{ikx} dk \quad (7)$$

$g(k)$ 其实就是 $\psi(x, 0)$ 的傅里叶变换，即

$$g(k) = \frac{1}{\sqrt{2\pi}} \int \psi(x, 0) e^{-ikx} dx \quad (8)$$

因而，式 (7) 的适用范围并不限于自由粒子。

2 波包在指定时刻的形状

假设图 1 是 $g(k)$ 的形状，该曲线有一个明显的高峰，极大值位于 $k = k_0$ 处，它的半高处的宽度为 Δk 。

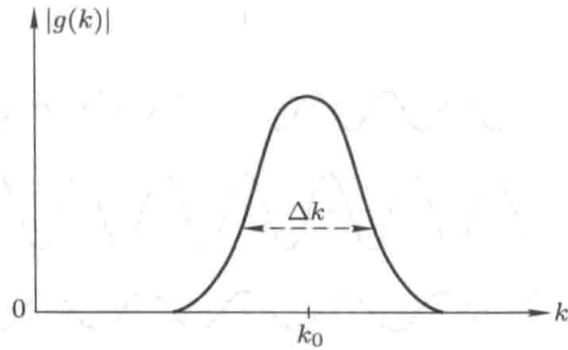


图 1: 函数 $|g(k)|$ 的形状

先考虑一个简单的特例。假设 $\psi(x, 0)$ 是三个平面波之和，波矢为 $k_0, k_0 -$

$\frac{\Delta k}{2}, k_0 + \frac{\Delta k}{2}$, 振幅为 0, 0.5, 0.5。于是我们有：

$$\begin{aligned}\psi(x) &= \frac{g(k_0)}{\sqrt{2\pi}} \left[e^{ik_0x} + \frac{1}{2}e^{i(k_0-\Delta k/2)x} + \frac{1}{2}e^{i(k_0+\Delta k/2)x} \right] \\ &= \frac{g(k_0)}{\sqrt{2\pi}} e^{ik_0x} \left[1 + \cos\left(\frac{\Delta k}{2}x\right) \right]\end{aligned}\quad (9)$$

容易看出，在 $x=0$ 处 $|\psi(x)|$ 有极大值。造成这个结果的原因是如下事实：当 x 取此值的时候，三个波是同相位的，因而他们的干涉是相长的，如图 2 所示。在 x 逐渐偏离 0 以后，三个波的相位便有差异，于是 $|\psi(x)|$ 便减小了。当 e^{ik_0x} 和 $e^{i(k_0\pm\Delta k/2)x}$ 之间的相位差等于 $+\pi$ 时，他们的干涉便是完全相消的；当 $x = \pm\Delta x/2$ 时， $\psi(x)$ 等于零， Δx 由

$$\Delta x \cdot \Delta k = 4\pi \quad (10)$$

给出。此式表示，函数 $|g(k)|$ 的宽度 Δk 越小，函数 $|\psi(x)|$ 的宽度 Δx (即 $|\psi(x)|$ 的两个零点间的距离) 就越大。

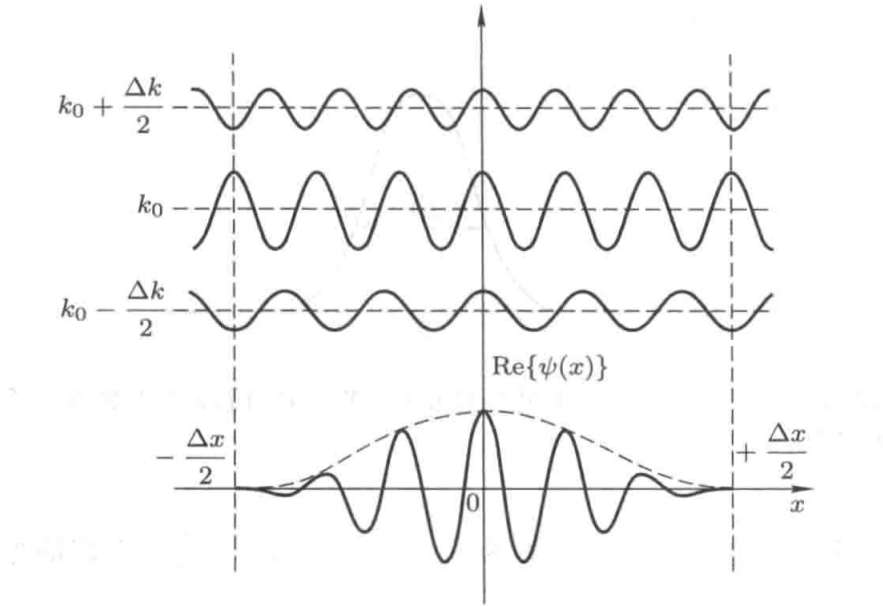


图 2: 三个波的实部

事实上，假设函数 $g(k)$ 的辐角为 $\alpha(k)$ ，即

$$g(k) = |g(k)|e^{i\alpha(k)} \quad (11)$$

如果在 $|\psi(x)|$ 有明显值的区间 $\left[k_0 - \frac{\Delta k}{2}, k_0 + \frac{\Delta k}{2}\right]$ 上， $\alpha(k)$ 的变化是充分正规的，则当 Δk 充分小时，我们可在 $k = k_0$ 附近展开 $\alpha(K)$

$$\alpha(k) \simeq \alpha(k_0) + (k - k_0) \left[\frac{d\alpha}{dk} \right]_{k=k_0} \quad (12)$$

利用此式，可将式 (7) 重写为

$$\psi(x, 0) \simeq \frac{e^{i[k_0 x + \alpha(k_0)]}}{\sqrt{2\pi}} \int_{-\infty}^{+\infty} |g(k)| e^{i(k-k_0)(x-x_0)} dk \quad (13)$$

其中

$$x_0 = - \left[\frac{d\alpha}{dk} \right]_{k=k_0} \quad (14)$$

用式 (13) 研究 $|\psi(x, 0)|$ 随 x 的变化：当 $|x - x_0|$ 很大时，积分号下 k 的函数在区间 Δk 中有很多次摆动，于是相继各次摆动对积分的贡献互相抵消而使对 k 积分的结果可以忽略，也就是在远离 x_0 的固定点 x 处，构成 $\psi(x, 0)$ 的各平面波的相位在 Δk 的范围内变化得非常迅速，这些波便因干涉而相消，见图 3a。反之，若 $x \simeq x_0$ ，则应对 k 积分的函数实际上并未摆动，因而究 $|\psi(x, 0)|$ 有极大值，见图 3b。

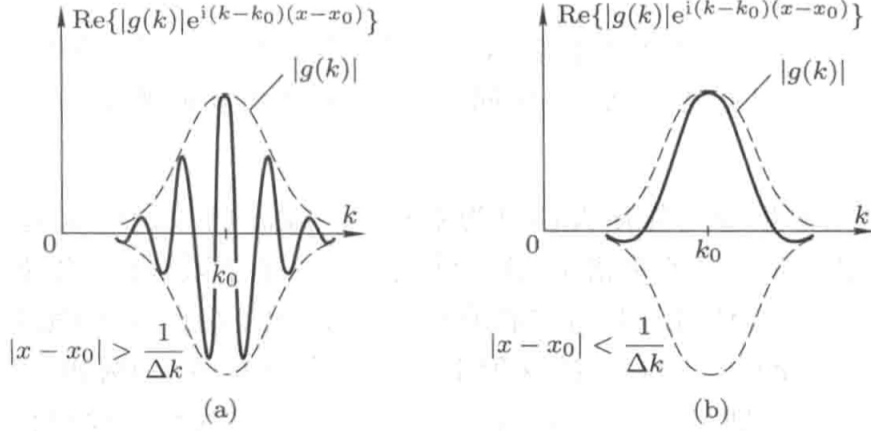


图 3: 为了得到 $\psi(x, 0)$ 而需对 k 积分的那个函数随 k 变化的情况

于是波包中心的位置为

$$x_M(0) = x_0 = - \left[\frac{d\alpha}{dk} \right]_{k=k_0} \quad (15)$$

如果振幅最大的那些波，也就是和 k_0 附近的 k 值对应的那些波，是相长干涉的话，那么像公式 (7) 中的那种积分将有极大值。相长干涉发生于下述情况：这些波的依赖于 k 的相位在 $k = k_0$ 附近实际上没有变化。为了得到波包的中心，我们可以认为，相位在 k 的导数在 $k = k_0$ 处等于零（稳定相位条件）。在上述特例中，和 k 对应的波的相位是 $kx + \alpha(k)$ ，使得导数 $x + \frac{d\alpha}{dk}$ 在 $k = k_0$ 处等于零的 x 值就是 $x_M(0)$

当 x 偏离 x_0 时， $|\psi(x, 0)|$ 减小；在下述情况下，这种减小更加显著，这种情况是：当 k 取遍区间 Δk 中的值时函数 $e^{i(k-k_0)(x-x_0)}$ 大约摆动一次，这种情况对应于

$$\Delta k \cdot (x - x_0) \simeq 1 \quad (16)$$

如果波包的宽度近似地为 Δx ，便有

$$\Delta k \cdot \Delta x \gtrsim 1 \quad (17)$$

下界的精准值依赖于宽度 Δx 和 Δk 的定义。

因而，式 (6) 中的波包表示一个粒子的这样一个态：在时刻 $t=0$ ，在以 x_0 为中心，近似宽度为 Δx 的区间外，该粒子出现的概率实际上为 0。

3 海森伯不确定性

与一个平面波 $e^{i(k-k_0)(x-x_0)}$ 对应的概率密度在任何时刻 t 在 Ox 轴上各点是恒定的，我们可以这样解释：譬如说，在 $t=0$ 时由 $\psi(x,0) = Ae^{ikx}$ 描述的一个粒子具有完全确定的动量，就是说，在这个时刻去测量他的动量一定得到 $p = \hbar k$ 。由此可见， e^{ikx} 描述对应于 $p = \hbar k$ 的本征态；另一方面，对 k 的每一个实数值都存在一个波函数，因此，对于任意态下的一次动量测量，我们预期得到的本征值应包括所有实数值。

现在来研究式 (7)，在该式中， $\psi(x,0)$ 表现为动量本征函数的线性叠加， e^{ikx} 的系数就是 $g(k)$ 。于是我们自然要将 $|g(k)|^2$ 解释为：在时刻 $t=0$ 测量 $\psi(x,t)$ 所描述的粒子的动量，得到的结果为 $p = \hbar k$ 的概率。但是，实际上 p 的可能值像 x 的可能值一样，组成一个连续的数集，而 $|g(k)|^2$ 则正比于一种概率密度：测得 p 的数值介于 $\hbar k$ 和 $\hbar(k+dk)$ 之间的概率 $d\mathcal{P}$ ，除去常因子不计，就是 $|g(k)|^2$ 。更准确地说，如果 (7) 改写为

$$\psi(x,0) = \frac{1}{\sqrt{2\pi\hbar}} \int \bar{\psi}(p) e^{ipx/\hbar} dp \quad (18)$$

我们就知道， $\bar{\psi}(p)$ 和 $\psi(x,0)$ 满足贝塞尔-帕塞瓦尔关系式

$$\int_{-\infty}^{+\infty} |\psi(x,0)|^2 dx = \int_{-\infty}^{+\infty} |\bar{\psi}(p)|^2 dp \quad (19)$$

将这两个积分的值记作 C ，那么 $d\mathcal{P}(x) = \frac{1}{C} |\psi(x,0)|^2 dx$ 就是在 $t=0$ 时，在 x 和 $x+dx$ 之间找到粒子的概率；同样

$$\overline{d\mathcal{P}}(p) = \frac{1}{C} |\bar{\psi}(p)|^2 dp \quad (20)$$

就是测量动量得到的结果介于 p 和 $p+dp$ 之间的概率。

回到式 (17)，我们可以把他写成

$$\Delta x \cdot \Delta p \geq \hbar \quad (21)$$

($\Delta p = \hbar \cdot \Delta k$ 是表示 $|\bar{\psi}(p)|$ 的曲线的宽度)。我们来考虑一个其状态由波包式 (18) 所确定的粒子；我们知道，在 $t=0$ 时这个粒子的位置概率仅在 x_0 附近宽度为 Δx 的区间内才有显著的值，这就意味着，我们知道的位置带有不确定度 Δx 。如果我们在同一时刻测量该粒子的动量，则可能得到介于 $p_0 + 1/2\Delta p$ 与 $p_0 - 1/2\Delta p$ 之间的一个数值，这是因为在此区间之外， $|\bar{\psi}(p)|^2$ 实际上等于零，于是动量的不确定度 Δp ，因而对式 (21) 的解释如下：在任一指定时刻，要以任意高的精准度同时确定粒子的位置和动量是不可能的；当达到 (21) 所规定的下限时，提高位置的精准度就意味着降低动量的精准度，反之亦然。

4 自由波包随时间的演变

我们还是回到一个由一维波包 (6) 描述的自由粒子。

沿 Ox 轴传播的某一平面波 $e^{i(kx-\omega t)}$ 的速度为

$$V_\varphi(k) = \frac{\omega}{k} \quad (22)$$

这是因为平面波只能通过宗量 $(x - \frac{\omega}{k}t)$ 而依赖于 x 和 k ； $V_\varphi(k)$ 叫做平面波的相速度。带入 (3)

$$V_\varphi(k) = \frac{\hbar k}{2m} \quad (23)$$

我们将会看到，当不同的波具有不同的相速度时，与我们可能预测的相反，波包的极大值位置 x_M 移动的速度并不是平均相速度 $\frac{\omega}{k} = \frac{\hbar k}{2m}$ 。

回到之前讲的三个波的叠加。对于任意的， $\psi(x, t)$ 应由下式给出

$$\begin{aligned} \psi(x, t) &= \frac{g(k_0)}{\sqrt{2\pi}} \left\{ e^{i[k_0 x - \omega_0 t]} + \frac{1}{2} e^{i[(k_0 - \Delta k/2)x - (\omega_0 - \Delta\omega/2)t]} \right. \\ &\quad \left. + \frac{1}{2} e^{i[(k_0 + \Delta k/2)x - (\omega_0 + \Delta\omega/2)t]} \right\} \\ &= \frac{g(k_0)}{\sqrt{2\pi}} e^{i(k_0 x - \omega_0 t)} \left[1 + \cos\left(\frac{\Delta k}{2}x - \frac{\Delta\omega}{2}t\right) \right] \end{aligned} \quad (24)$$

于是我们看到， $|\psi(x, t)|$ 的极大值在 $t=0$ 时位于 $x=0$ 处。而现在则位于

$$x_M(t) = \frac{\Delta\omega}{\Delta k} t \quad (25)$$

处，而不是在 $x_0 = \frac{\omega_0}{k_0}t$ 处。这个结果如图 4。其中 a 表示三个波的实部的三个相邻的极大值 (1),(2),(3) 在 $t=0$ 时的位置；编号 (2) 的三个极大值在 $x=0$ 处重叠，于是在这一点发生相长干涉，这一点就是 $|\psi(x, 0)|$ 的极大值的位置。因为相速度随 k 的增大而增大 (式 (23))，所以波数为 $(k_0 + \Delta k/2)$ 的那个波的极大值 (3) 将逐渐赶上波数为 (k_0) 的那个波的极大值 (3)，而后者又逐渐赶上波数 $(k_0 - \Delta k/2)$ 的那个波的极大值 (3)。到了某个时刻，必须出现图 4b 所示的情况，这时互相重叠的编号为 (3) 的三个极大值，重合点就是 $|\psi(x, t)|$ 的极大值的位置 $x_M(t)$ 。在图上可以清楚地看到， $x_M(t)$ 并不等于 $\frac{\omega_0}{k_0}t$ ，并且简单计算一下，又可以得出式 (25)。

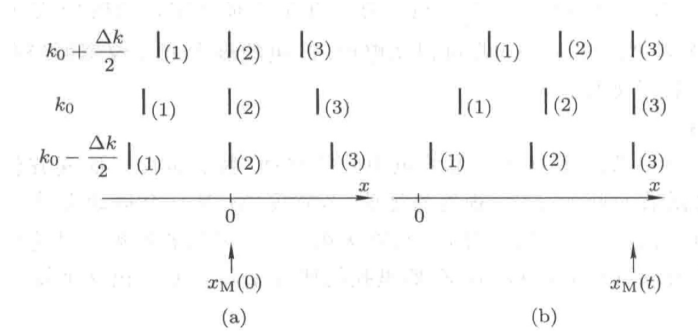


图 4: 三个波的极大值的位置

利用“稳定相位”的方法同样可以求得波包 (6) 的中心的位移。其实，在自由波包的公式 (6) 中，我们就可以看出，要从 $\psi(x, 0)$ 过渡到 $\psi(x, t)$ ，只需将 $g(k)$ 换成 $g(k)e^{-i\omega(k)t}$ 即可，则辐角为

$$\alpha(k) - \omega(k)t \quad (26)$$

由条件 (15) 得到

$$x_M(t) = \left[\frac{d\omega}{dk} \right]_{k=k_0} t - \left[\frac{d\alpha}{dk} \right]_{k=k_0} \quad (27)$$

波包极大值的速度则为

$$V_G(k_0) = \left[\frac{d\omega}{dk} \right]_{k=k_0} \quad (28)$$

$V_G(k_0)$ 叫做波包的群速度。利用色散关系，便可得到

$$V_G(k_0) = \frac{\hbar k_0}{m} = 2V_\varphi(k_0) \quad (29)$$

这个式子也适用于对自由粒子的经典描述。

5 一维高斯型波包

5.1 高斯波包的定义

在一维模型中，我们考虑一个自由粒子，他的波函数在 $t=0$ 时的形式为

$$\psi(x, 0) = \frac{\sqrt{a}}{(2\pi)^{3/4}} \int_{-\infty}^{+\infty} e^{-\frac{a^2}{4}(k-k_0)^2} e^{ikx} dk \quad (30)$$

这个波包可以由很多像 e^{ikx} 这样的平面波叠加而成，各平面波前面的系数是

$$\frac{1}{\sqrt{2\pi}} g(k, 0) = \frac{\sqrt{a}}{(2\pi)^{3/4}} e^{-\frac{a^2}{4}(k-k_0)^2} \quad (31)$$

这对应于一个中心在 $k = k_0$ 处的高斯函数，因此，我们说 (30) 的波包是高斯型的。

现在介绍一个实用的积分

$$\int_{-\infty}^{+\infty} e^{-\alpha^2(\xi+\beta)^2} d\xi = \frac{\sqrt{\pi}}{\alpha} \quad (32)$$

现在来计算 $\psi(x, 0)$ 。为此，将 (30) 的指数中含有 k 的项归并一下，写成下列形式的完全平方

$$-\frac{a^2}{4}(k-k_0)^2 + ikx = -\frac{a^2}{4} \left[k - k_0 - \frac{2ix}{a^2} \right]^2 + ik_0x - \frac{x^2}{a^2} \quad (33)$$

于是利用 (32) 算出

$$\psi(x, 0) = \left(\frac{2}{\pi a^2} \right)^{1/4} e^{ik_0x} e^{-x^2/a^2} \quad (34)$$

于是我们证明了高斯型函数的傅里叶变换还是高斯型函数。

因此，在 $t=0$ 时，粒子的概率密度由下式给出

$$|\psi(x, 0)|^2 = \sqrt{\frac{2}{\pi^2}} \cdot e^{-2x^2/a^2} \quad (35)$$

表示 $|\psi(x, 0)|^2$ 的曲线就是经典的钟形曲线。波包中心 ($|\psi(x, 0)|^2$ 的极大值) 位于 $x=0$ 处。

5.2 不确定度关系式

研究高斯函数 $f(x) = e^{-x^2/b^2}$ 时，为了方便，将他的宽度明确规定为

$$\Delta x = \frac{b}{\sqrt{2}} \quad (36)$$

当 x 从 0 变到 $\pm\Delta x$ 的时候，函数的值缩小为原来的 $1/\sqrt{e}$ ；这种规定虽然是任意的，但有一个优点，就是他与变量 x 的“方均根偏差”一致。

根据这个规定，可以算出 (35) 中的波包的宽度

$$\Delta x = \frac{a}{2} \quad (37)$$

由于 $|g(k, 0)|^2$ 也是一个高斯型函数，可以用同样的方法计算他的宽度 Δk ，结果得到

$$\Delta k = \frac{1}{a} \quad (38)$$

或写作

$$\Delta p = \frac{\hbar}{a} \quad (39)$$

从而得到

$$\Delta x \cdot \Delta p = \frac{\hbar}{2} \quad (40)$$

这个结果与海森堡不确定性关系完全一致。

5.3 波包的演变

5.3.1 $\psi(x, t)$ 的计算

为了计算 t 时刻的波函数 $\psi(x, t)$ ，只需利用 (5)，给出自由粒子的波函数，我们得到

$$\psi(x, t) = \frac{\sqrt{a}}{(2\pi)^{3/4}} \int_{-\infty}^{+\infty} e^{-\frac{a^2}{4}(k-k_0)^2} e^{i[kx - \omega(k)t]} dk \quad (41)$$

其中 $\omega(k) = \hbar k^2/2m$ 。我们将会看到，在 t 时刻，波包仍旧保持为高斯型的。实际上，和前面一样，将指数中含有 k 的项归并一下，组成完全平方后积分，得

$$\psi(x, t) = \left(\frac{2a^2}{\pi}\right)^{1/4} \frac{e^{i\varphi}}{\left(a^4 + \frac{4\hbar^2 t^2}{m^2}\right)^{1/4}} e^{ik_0 x} \exp\left\{-\frac{\left[x - \frac{\hbar k_0}{m}t\right]^2}{a^2 + \frac{2i\hbar t}{m}}\right\} \quad (42)$$

其中 φ 是与 x 无关的实数

$$\varphi = -\theta - \frac{\hbar k_0^2}{2m}t \quad \text{and} \quad \tan 2\theta = \frac{2\hbar t}{ma^2} \quad (43)$$

我们再计算 t 时刻粒子的概率密度 $|\psi(x, t)|^2$ ，结果为

$$|\psi(x, t)|^2 = \sqrt{\frac{2}{\pi a^2}} \frac{1}{\sqrt{1 + \frac{4\hbar^2 t^2}{m^2 a^4}}} \exp\left\{-\frac{2a^2 \left(x - \frac{\hbar k_0}{m}t\right)^2}{a^4 + \frac{4\hbar^2 t^2}{m^2}}\right\} \quad (44)$$

现在证明，波包的模方 $\int_{-\infty}^{+\infty} |\psi(x, t)|^2 dx$ 与时间无关。由 (41) 可知， $\psi(x, t)$ 的傅里叶变换就是

$$g(k, t) = e^{-i\omega(k)t} g(k, 0) \quad (45)$$

显然， $g(k, t)$ 与 $g(k, 0)$ 具有相同的模方，贝塞尔-帕塞瓦尔等式表明，正如 $\psi(x, 0)$ 和 $g(k, 0)$ 具有相同的模方一样， $\psi(x, t)$ 和 $g(k, t)$ 也具有相同的模方。据此便知 $\psi(x, t)$ 和 $\psi(x, 0)$ 具有相同的模方。

5.3.2 波包移动的速度

从 (44) 可以看出, 概率密度 $|\psi(x, t)|^2$ 也是一个高斯型函数, 他的中心在 $x = V_0 t$ 处, 速度 V_0 由下式给出

$$V_0 = \frac{\hbar k_0}{m} \quad (46)$$

5.3.3 波包的扩展

回到式 (44), 根据定义 (36), 波包在 t 时刻的宽度 $\Delta x(t)$ 应为

$$\Delta x(t) = \frac{a}{2} \sqrt{1 + \frac{4\hbar^2 t^2}{m^2 a^4}} \quad (47)$$

由此可见 (图 5), 波包的演变并不只是以速率 V_0 移动, 他的形状也在变化。当 t 从 $-\infty$ 增加到 0 时, 波包的宽度不断减小, 以致在 $t=0$ 时减小到最小; 然后宽度随 t 的增大而不断增大 (波包在扩展)。

从 (44) 式还可以看出, 波包的高度也在变化, 不过与宽度变化的趋势相反, 从而使 $\psi(x, t)$ 的模方保持不变。

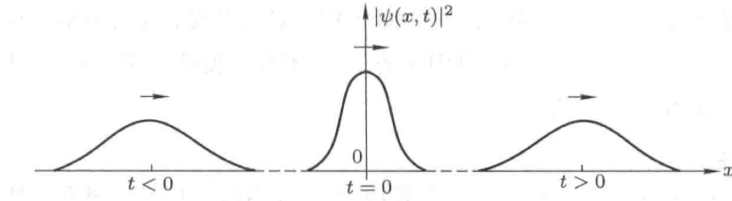


图 5: 波包宽度与高度随时间的变化

函数 $g(k, t)$ 的性质完全不同, 因为

$$|g(k, t)| = |g(k, 0)| \quad (48)$$

因此, 波包的平均动量 ($\hbar k_0$) 及其动量弥散 ($\hbar \Delta k$) 都不随时间而变。

由于存在着动量的弥散 $\Delta p = \hbar \Delta k = \hbar/a$, 确定粒子的速度就只能精确到 $\Delta v = \Delta p/m = \hbar/ma$ 。我们设想一群经典粒子, 在 $t=0$ 时, 他们从 $x=0$ 点出发, 速度弥散为 Δv ; 到了时刻 t , 这些粒子的位置的弥散将是 $\delta x_{cl} = \Delta v|t| = \hbar|t|/ma$; 这种弥散是随 t 线性增大的, 如图 6。在同一图中,

还画出 $\Delta x(t)$ 随时间变化的曲线，当 t 趋向无穷大时， $\Delta x(t)$ 与 δx_{cl} 实际上是重合的。因此我们说，当 t 很大时，可以对宽度 Δx 作出准经典的解释。反之， t 越是接近于 0， $\Delta x(t)$ 的值与 δx_{cl} 的值的差别就越大。实际上，一个量子粒子必须时时满足海森堡不确定原理 $\Delta x \cdot \Delta p \geq \hbar/2$ ，现在 Δp 是固定的，这个不等式便确定了 Δx 的下限。

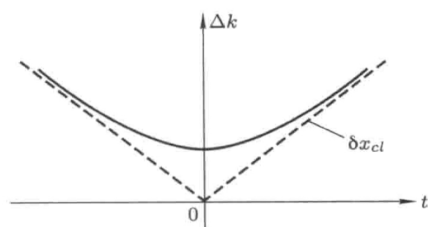


图 6: 图 5 中波包的宽度随时间的变化